——— РОСТ КРИСТАЛЛОВ **——**

УЛК 548.55

ГИДРОДИНАМИКА И МАССОПЕРЕНОС ПРИ ВЫРАЩИВАНИИ СМЕШАННЫХ КРИСТАЛЛОВ ИЗ РАСТВОРА

© 2019 г. Н. А. Верезуб¹, А. Э. Волошин², А. И. Простомолотов^{1,*}

¹ Институт проблем механики им. А.Ю. Ишлинского РАН, Москва, Россия
² Институт кристаллографии им. А.В. Шубникова ФНИЦ "Кристаллография и фотоника" РАН, Москва, Россия * E-mail: prosto@ipmnet.ru

Поступила в редакцию 03.06.2019 г. После доработки 07.06.2019 г. Принята к публикации 10.06.2019 г.

Рассмотрены результаты математического моделирования оригинального процесса выращивания смешанных кристаллов $K_2(Co, Ni)(SO_4)_2 \cdot 6H_2O$. Обсуждаются особенности гидродинамики и массопереноса при гладкой и шероховатой поверхностях кристаллизации.

DOI: 10.1134/S0023476119060250

ВВЕДЕНИЕ

Из анализа литературных данных следует, что конвекция в растворе приводит к ослаблению процесса образования включений и позволяет увеличить скорость роста без ухудшения качества кристалла [1].

В [2] показано, что изменение характеристик течения около поверхности кристалла позволяет сделать распределение пересыщения вдоль грани кристалла более равномерным и избежать морфологической нестабильности. В том случае, если кинетическая кривая роста кристалла имеет мертвую зону, это также позволяет устранить области низкого пересыщения вблизи поверхности кристалла и ограничить образование включений.

Экспериментальное определение распределения поверхностного пересыщения затруднительно, поэтому большую роль играет численное моделирование течения и массопереноса при росте кристаллов из раствора. Например, в [3] исследовались зависящие от времени трехмерные течения при росте кристаллов КDP и было установлено их существенное влияние на рост кристаллов.

В [4] проведено двухмерное моделирование совместного действия вынужденной и естественной конвекции при росте КDР кристаллов, которое показало, что для подавления естественной конвекции требуется значительная интенсивность вынужденного течения в кристаллизационной камере. В [5] были выполнены трехмерные, зависящие от времени расчеты турбулентного течения применительно к условиям высокоскоростного выращивания кристаллов KDP. Они показали, что динамика течения и распределение

пересыщения сильно зависят от размеров кристалла, скорости роста и скорости вращения кристалла. В [6] была предложена "самосогласованная" модель роста кристаллов КDP, в которой учитывалась как объемная диффузия, так и реакция на ростовой поверхности кристалла для определения толщины диффузионного слоя вокруг кристалла.

Оригинальная конструкция проточного кристаллизатора применяется для выращивания смешанных кристаллов $K_2(Co,Ni)(SO_4)_2 \cdot 6H_2O$ (KCNSH) из смеси двух водно-солевых растворов (кобальтовой $K_2Co(SO_4)_2 \cdot 6H_2O$ (**KCSH**) и никелевой $K_2Ni(SO_4)_2 \cdot 6H_2O$ (**KNSH**) солей) с разным мольным соотношением [7, 8]. Различие транспортных и физико-химических свойств разных солей может приводить к их неравномерному распределению в растворе вдоль грани кристалла, что, в свою очередь, будет приводить к неоднородности растущего смешанного кристалла KCNSH. Такой результат наблюдался в виде чередования более темных и светлых пятен на рентгеновском топографическом снимке поперечного сечения кристалла KCNSH, выращенного из раствора с равным мольным соотношением солей [8].

В настоящей работе рассматривается математическая модель процесса роста смешанного кристалла из двухкомпонентного солевого раствора. Средствами математического моделирования исследуются гидродинамика и массоперенос двух солей в пересыщенном растворе и их осаждение (кристаллизация) на поверхности кристалла. Анализируется влияние микрошероховатости поверхности кристаллизации на особенности ее обтекания раствором. Такая микрошероховатость

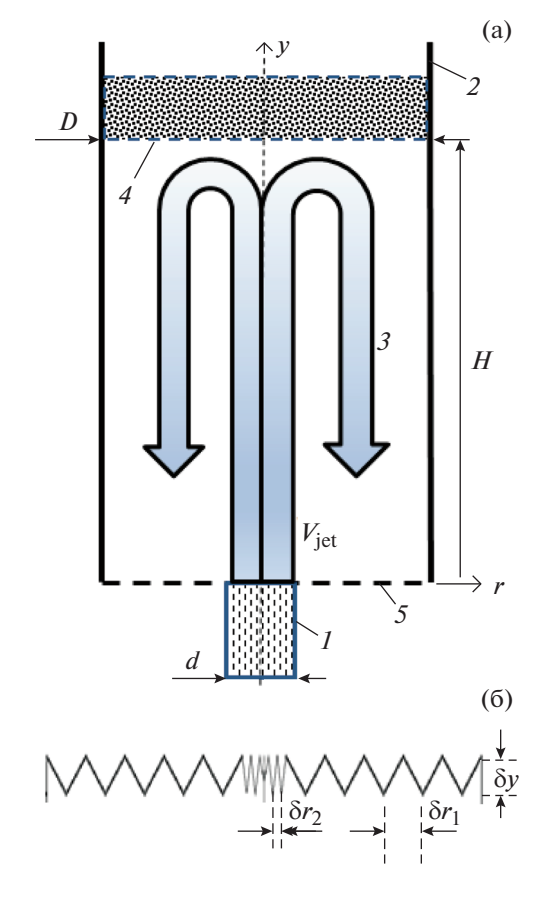


Рис. 1. Расчетная модель проточного кристаллизатора: а — трубка (1) для втекания раствора (3) с заданной скоростью V_{jet} в цилиндрический сосуд (2), поверхность растущего кристалла (4), вытекание раствора (5); б — форма треугольной шероховатости на поверхности кристалла.

может возникать, например, в результате образования макроступеней. Сравниваются распределения концентрации и пересыщения на гладкой и микрошероховатой поверхностях кристаллизации.

СХЕМА РОСТОВОГО ПРОЦЕССА

Суть ростового процесса состоит в следующем (рис. 1a): раствор (3) поднимается вертикально вверх из трубки (1) на дне цилиндрического сосу-

Таблица 1. Параметры гидродинамической модели

тионици то тириметры гидродинами теской модели	
Кинематическая вязкость раствора v , m^2/c	$v = 5.06 \times 10^{-7}$
Коэффициенты диффузии солей D_i , м 2 /с	$D_1 = 1.217 \times 10^{-9}$ $D_2 = 1.075 \times 10^{-9}$
Плотность раствора ρ_0 , кг/м ³	$\rho_0 = 1115$
Равновесные концентрации солей	$C_{e1} = 0.044$
C_{ei} (при $T = 316 \text{ K}$), кг/кг p-pa	$C_{e2} = 0.089$

да (2) с заданной скоростью V_{jet} и обтекает поверхность растущего кристалла (4). Размеры кристаллизатора следующие: высота H=0.04 м, диаметр D=0.03 м. Диаметр трубки (1) с втекающим раствором d=0.003 м. Осаждение солей на поверхность кристалла обеспечивает его наращивание сверху вниз по всему диаметру сосуда. Затем "отработавший" раствор вытекает через открытую часть дна сосуда (5).

Рассматривалась как гладкая поверхность кристалла, так и поверхность с треугольной формой шероховатости. Треугольники имеют одинаковую высоту ($\delta y = 0.4$ мм) и два радиальных размера: с большой шириной ($\delta r_1 = 2.7$ мм) и меньшей ($\delta r_2 = 0.6$ мм) вблизи оси (рис. 16). Выбор размеров треугольников меньшего размера лимитировался вычислительной точностью при заданном числе узлов расчетной сетки.

Математическая модель сформулирована в соответствии с общепринятой методикой расчета процессов гидродинамики и массопереноса при выращивании кристаллов из водно-солевых растворов [3]. Данные, использованные в расчетах, приведены в табл. 1 и 2. Все известные для KCSH, KNSH и KCNSH данные взяты из [9]. Однако для рассматриваемых кристаллов неизвестна удельная энергия ступени α, в этом случае было взято значение для грани (100) кристалла КDР [10]. Также в литературе отсутствуют данные о коэффициентах диффузии солей KCSH и KNSH в водных растворах, поэтому в расчетах использованы значения для CoCl₂ [11] и NiCl₂ [12] соответственно. Различие в распределении концентраций никелевой и кобальтовой солей вдоль грани кристалла в значительной степени зависит от соотношения их коэффициентов диффузии. Можно полагать, что разница коэффициентов диффузии CoCl₂ и NiCl₂ близка к разнице коэффициентов диффузии KCSH и KNSH.

Таким образом, данные расчеты носят оценочный характер и имеют целью составить качественную картину различий в массопереносе при движении раствора двух солей вдоль гладкой и шероховатой поверхностей.

МАТЕМАТИЧЕСКАЯ ФОРМУЛИРОВКА ЗАДАЧИ

Для определения вектора скорости $V = (V_r, V_y)$ и давления P в растворе (3) (рис. 1) решаются уравнения Навье—Стокса и неразрывности, записываемые в векторном виде следующим образом:

$$\frac{\partial \mathbf{V}}{\partial t} + (\mathbf{V}\nabla)\mathbf{V} = -\frac{1}{\rho_0}\nabla\mathbf{P} + \nu\Delta\mathbf{V}, \quad \text{div } \mathbf{V} = 0, \quad (1)$$

где t — время, ρ_0 — плотность и V — кинематическая вязкость раствора.

Для рассчитанного поля скорости V решаются уравнения конвективного переноса в растворе для двух солей:

$$\frac{\partial M_i}{\partial t} + \mathbf{V} \nabla M_i = D_i \Delta M_i, \tag{2}$$

где $M_i = \rho_0 C_i$ — концентрации солей в растворе [кг/м³], ρ_0 — плотность раствора и C_i — относительные массы солей на 1 кг раствора; i соответствует номеру специи: 1 — KCSH, 2 — KNSH. Параметры гидродинамической модели задаются в соответствии с табл. 1.

Для расчета нормальной скорости роста кристалла из водно-солевого раствора использована формула для простого дислокационного источника [13]:

$$R = \frac{\beta C_e h k T \sigma_0^2}{19\alpha}.$$
 (3)

По параметрам табл. 2 оценочная скорость кристаллизации составляет $R = 5.66 \times 10^{-9}$ м/с (или 0.489 мм/сут).

Для расчета по уравнениям (1), (2) искомых распределений скорости и концентраций солей задаются следующие граничные условия:

- на участке втекания раствора (1) задается скорость струи и концентрации солей: $V_y = V_{jet}$, $C_i = C_{0i}$, где $C_{0i} = \rho_0 \exp(\sigma_0) C_{ei}$. Пересыщение водно-солевого раствора рассчитывается как $\sigma_i = \ln(C_i/C_{ei})$ [10], где C_i текущие и C_{ei} равновесные концентрации солей. Взяв из табл. 2 начальное пересыщение $\sigma_0 = 0.09$, вычисляем: $C_{01} = 53.68 \ \mathrm{Kr/m}^3$, $C_{02} = 108.58 \ \mathrm{Kr/m}^3$;
- на границе вытекания (5) градиент скорости и солевые потоки равны нулю;
- на боковой стенке кристаллизатора (2) скорость и солевые потоки задаются равными нулю;
- на поверхности кристаллизации (4) задается соотношение баланса масс для каждой соли с учетом величины скорости кристаллизации, рассчитываемой по формуле (3):

$$\rho_{0i}D_i\frac{\partial C_i}{\partial n}=R(C_{si}\rho_s-C_{ei}\rho_0). \tag{4}$$

Здесь плотность смешанного кристалла $\rho_s = 2240 \text{ кг/м}^3$. Величины C_{si} задаются с учетом известного из эксперимента коэффициента распределения K для этих солей. Он связывает их концентрации в кристалле и растворе:

$$K = \frac{C_{s2}C_1}{C_{s1}C_2} = 3.7,$$

где $C_{s1} + C_{s2} = 1$. В результате получаем требуемые формулы для расчета C_{si} :

$$C_{s1} = \frac{C_1}{C_1 + KC_2}, \quad C_{s2} = \frac{KC_2}{C_1 + KC_2},$$

Таблица 2. Параметры для задания скорости кристаллизации

T— температура [K]	316
σ_0 — пересыщение солью при пере-	0.09
охлаждении ($\Delta T = 0.5 \text{ K}$)	
w – объем молекулы [м ³]	3.24×10^{-28}
k — константа Больцмана [Дж/K]	1.38×10^{-23}
β – кинетический коэффициент сту-	5×10^{-4}
пени на грани (110) [м/с]	
$lpha$ — удельная энергия ступени [Дж/м 2]	19.5×10^{-3}
H — высота ступени на грани (110) [м]	5.3×10^{-10}

где C_i — концентрации солей в растворе на границе фаз, которые определяются в процессе итерационного счета. В данной работе расчеты ограничены их первым приближением: $C_i = C_{ei}$.

Таким образом, формула (4) сопрягает гидродинамическую и термодинамическую модели.

Программные реализации моделей разработаны на основе пакета программ AnsysFluent [14], дополненного пользовательскими UDF-подпрограммами на языке Си.

ОСОБЕННОСТИ ГИДРОДИНАМИКИ РАСТВОРА ДЛЯ ГЛАДКОЙ И ШЕРОХОВАТОЙ ПОВЕРХНОСТЕЙ КРИСТАЛЛИЗАЦИИ

Расчеты проведены для гладкой и треугольношероховатой поверхностей кристалла (согласно схемам на рис. 1).

Картина циркуляции раствора в кристаллизаторе с гладкой поверхностью кристаллизации показана на рис. 2а при скорости втекания $V_{\scriptscriptstyle jet} =$ = 0.9 м/с, что соответствует скорости потока, создаваемой в реальных экспериментах по выращиванию кристаллов $K_2(Co,Ni)(SO_4)_2 \cdot 6H_2O$. Втекающая струя сталкивается с твердой преградой в виде поверхности кристалла, в результате чего меняет осевое направление течения на радиальное. Ввиду большой скорости центробежной струи вблизи поверхности кристалла возникает интенсивная вихревая циркуляция при ее столкновении с боковой стенкой сосуда. Раствор интенсивно стекает вниз в центральной части кристаллизатора (вне области втекания), причем в остальной радиально-периферийной области возникает слабая замкнутая (запирающая течение) циркуляция.

В случае треугольно-шероховатой поверхности кристалла наблюдается аналогичная структура циркуляции раствора в объеме кристаллизатора. Однако вблизи поверхности кристаллизации проявляется влияние шероховатости. Так, между треугольными выступами возникают слабые вих-

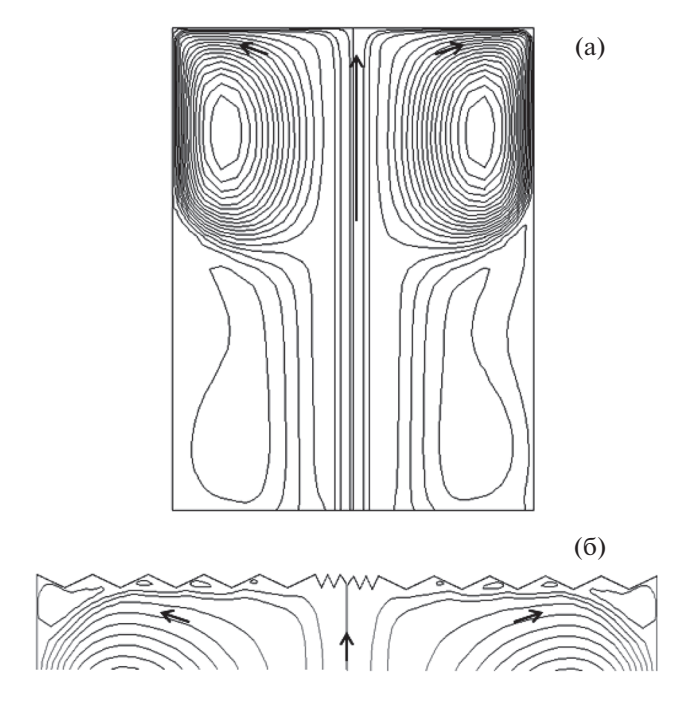


Рис. 2. Линии тока в растворе при $V_{jet} = 0.9$ м/с при гладкой (а) и шероховатой поверхности кристалла (б).

ри, показанные на рис. 2б. Их наличие влияет на распределение скорости обтекания поверхности кристаллизации. Это можно видеть из сравнения радиальных профилей радиальной компоненты скорости $V_r(r)$, показанных на рис. 3.

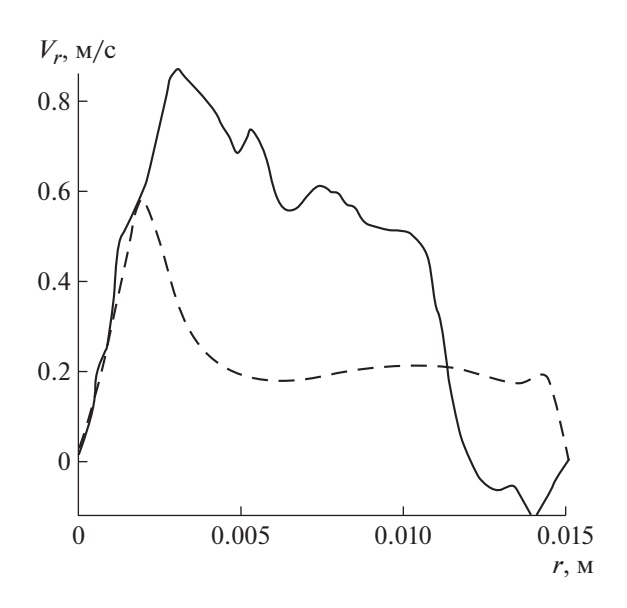


Рис. 3. Профиль радиальной скорости вблизи поверхности кристалла $y=0.0395\,$ м при $V_{jet}=0.9\,$ м/с. Сплошная линия — при шероховатой, пунктир — при гладкой поверхности кристалла.

Заданная высота треугольных выступов $\delta y = 0.4$ мм соответствует координате y = 0.0396 м. Между выступами циркулируют слабые вторичные вихри, а вне — на малом удалении (y = 0.0395 м) существует качественно такая же циркуляция раствора, что и для гладкой поверхности кристалла (рис. 2). В сравнении профили радиальной скорости для гладкой и треугольно-шероховатой поверхностей показаны на рис. 3 при y = 0.0395 м.

При гладкой поверхности кристалла $V_r(r)$ резко возрастает за счет радиального поворота струи от нуля на оси до $0.6\,$ м/с, затем резко падает до $0.2\,$ м/с и остается таковой на большей части обтекаемого кристалла.

Однако наличие шероховатости существенно изменяет профиль скорости $V_r(r)$: из-за дополнительных вихрей между треугольными выступами увеличивается величина и несколько изменяется профиль $V_r(r)$.

ОСОБЕННОСТИ РАСПРЕДЕЛЕНИЯ ПЕРЕСЫЩЕНИЯ ВДОЛЬ ГЛАДКОЙ И ШЕРОХОВАТОЙ ПОВЕРХНОСТЕЙ КРИСТАЛЛИЗАЦИИ

Рассмотренные выше особенности гидродинамики влияют на распределения концентрации солей в растворе. В целом макрокартины изолиний концентрации солей КСSH и KNSH идентичны для гладкой и шероховатой поверхностей кристаллизации. Поэтому достаточно их проанализировать для одной из солей — КСSH.

Распределение изолиний концентрации КСSH на рис. 4 показывает, что за счет втекающей из трубки струи (рис. 1) в приосевой области существует максимальная концентрация соли, которая достигает поверхности кристалла и растекается по ней за счет радиального поворота струи. Осаждение (кристаллизация) соли на поверхности кристалла снижает ее концентрацию в остальном объеме кристаллизатора, из которого раствор вытекает через его донную поверхность (5) (рис. 1).

По данным концентраций солей рассчитано их пересыщение σ_i на фронте кристаллизации по формуле [3]: $\sigma_i = (C_i - C_{ei})/C_{ei}$.

В соответствии с данными, приведенными на рис. 4, в случае гладкой поверхности кристаллизации пересыщение в центре, на участке натекающей струи \sim 9.8% и оно монотонно падает при удалении от оси до \sim 8.2%. При этом различие обеих солей не значительное (рис. 5а).

Однако в случае шероховатой поверхности кристаллизации проявляется осциллирующий характер σ_i в радиальном направлении (рис. 56), вызванный треугольными возвышениями (*hill*) и впадинами (*hole*), поскольку их наличие обуслов-

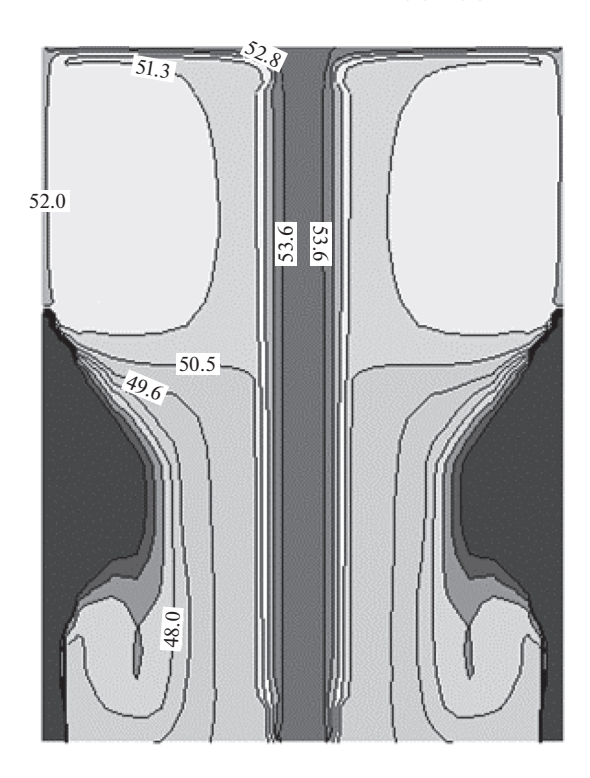


Рис. 4. Картина изолиний концентрации соли КСSH κ г/м³ при скорости струи $V_{iet} = 0.9$ м/с.

ливает слабые вторичные вихри и осциллирующее радиальное изменение концентраций солей KCSH и KNSH.

ЗАКЛЮЧЕНИЕ

Математическая модель гидродинамики и массопереноса при выращивании смешанных кристаллов из раствора сформулирована на основе уравнений Навье-Стокса для несжимаемой жидкости и уравнений конвективного переноса хлористых солей кобальта и никеля. Граничные условия для скорости подачи раствора и концентрация примесей соответствуют оригинальной проточной системе кристаллизатора, в которой используется сильная осевая струя, перпендикулярно натекающая на поверхность кристаллизации. Процесс кристаллизации учитывает баланс солевых масс в растворе и кристалле для скорости кристаллизации, вычисляемой по термодинамической формуле, учитывающей микропараметры поверхности (температура, пересыщение, кинетика ступени и др.).

Проведенные расчеты показали, что шероховатость поверхности кристаллизации приводит к образованию множества мелких вихрей вблизи этой поверхности. Это, в свою очередь, влияет на массообмен на границе раствор—кристалл, что приводит к различию радиальных распределений концентрации примесей и уровней пересыщения

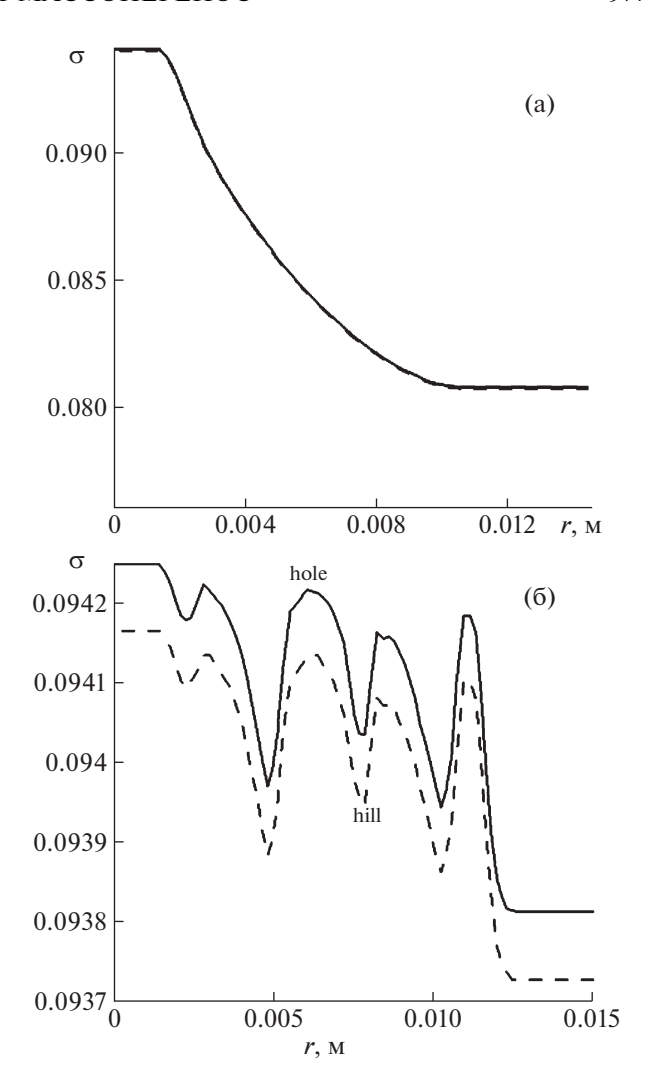


Рис. 5. Профили пересыщенности солями при $V_{jet} = 0.9\,$ м/с (сплошная линия — KCSH, пунктир — KNSH): а — на гладкой поверхности кристалла, б — вблизи шероховатой поверхности кристалла при $y=0.0395\,$ м (hole — углубление, hill — выступ на треугольно-шероховатой поверхности).

солями. Так, если для гладкой поверхности кристаллизации изменение пересыщения снижается плавно при удалении от оси, то для шероховатой поверхности проявляются колебания пересыщения, соответствующие неровностям поверхности. В целом можно заметить, что распределение компонентов вдоль грани кристалла в случае шероховатой поверхности значительно более однородное, чем для гладкой поверхности. По всей видимости, это связано с тем, что в случае шероховатой поверхности нарушается линейное, чисто радиальное движение потока, что способствует лучшей гомогенизации раствора. В этом плане перспективным представляется изменение структуры исходного потока, например его закрутка, что будет рассмотрено в следующих публикациях.

Заметим, что участки колебаний пересыщения достаточно большие (~1 мм) из-за соответствующего размера задаваемой шероховатости поверхности кристаллизации, хотя в реальности на поверхности кристалла проявляются шероховатости меньших размеров. Расчеты для шероховатостей меньших размеров лимитировались вычислительной точностью при заданном числе узлов расчетной сетки.

Работа выполнена при поддержке Российского научного фонда (грант № 15-12-00030).

СПИСОК ЛИТЕРАТУРЫ

- 1. *Dinakaran S., Verma S., Das S.J. et al.* // Physica B. 2010. V. 405. № 18. P. 3919.
- 2. *Vartak B., Yeckel A., Derby J.J.* // J. Cryst. Growth. 2005. V. 281. № 2–4. P. 391.
- Zhou C., Lin M., Hu Z. et al. // J. Cryst. Growth. 2016.
 V. 450. P. 103.
- Brailovskaya V.A., Zilberberg V.V., Feoktistova L.V. // J. Cryst. Growth. 2000. V. 210. P. 767.

- Robey H.F., Maynes D. // J. Cryst. Growth. 2003. V. 259. P. 388.
- Liiri M., Enqvist Y. // J. Cryst. Growth. 2006. V. 286. P. 413.
- 7. Гребнев В.В., Ковалев С.И., Волошин А.Э. и др. // Кристаллография. 2017. Т. 62. № 6. С. 994.
- 8. Voloshin A.E., Manomenova V.L., Rudneva E.B. et al. // J. Cryst. Growth. 2018. V. 500. P. 98.
- 9. *Воронцов Д.А., Волошин А.Э., Гребенев В.В. и др. //* Кристаллография. 2017. Т. 62. № 6. С. 986.
- 10. *Rashkovich L.N.* KDP-family single crystals. N.Y.; Bristol: Adam Hilger, 1991. 200 p.
- 11. *Ribeiro A.C.F.*, *Lobo V.M.M.*, *Natividade J.J.S.* // J. Chem. Eng. Data. 2002. V. 47. P. 539.
- Ribeiro A.C.F., Verissimo L.V.M.M., Gomes J.C.S. et al. // Comptes Rendus Mecanique. 2013. V. 341. P. 417.
- 13. Современная кристаллография. Т. 3. / Под ред. Вайнштейна Б.К. М.: Наука, 1980. 407 с.
- Ansys C.F.D. // Lisence of IPMech RAS. 659778-23-Aug-2011.